

การวิเคราะห์ระดับเสียงดนตรีไทย

จันทร์รัตน์ ชินเวชกิจวนิชย์^{1*}, สราชฎิ์ สุจิตจาร², กิตติ อัตถกิจมงคล³ และ เพียร โตท่าโรง⁴

Chinvejkitchvanich, R.^{1*}, Sujitjorn, S.², Attakitmongcol, K.³, and Totarong, P.⁴ (2004). **Thai Musical Signal Analysis.** Suranaree J. Sci. Technol. 11:179-192.

Received: Mar 4, 2004; Revised: Aug 10, 2004; Accepted: Aug 14, 2004

Abstract

Analysis of Thai principal notes was carried out for the octave referred to as “Thang Phiang Aw”. Four different techniques of digital processing, namely discrete Fourier transform (DFT), short-time Fourier transform (STFT), autoregressive model (AR), and modal distribution (MD) were used. The results indicated that the modal distribution technique was superior to the others. The main Phiang Aw octave covered the frequencies of 465-940 Hz. The pitches were not constant, which was in contrast to the previous hypothesis of Morton’s.

Keywords: Musical signal analysis, traditional Thai music

บทคัดย่อ

การวิเคราะห์ระดับเสียงเสียงดนตรีไทย ดำเนินงานกับทบทวนเสียงกล่างทางดานตรีไทย ที่เรียกว่า “ทางเพียงอ้อ” ได้นำเทคนิคการประมวลผลสัญญาณดิจิตอลสี่แบบมาประยุกต์ ได้แก่ เทคนิคการแปลงฟูริเยร์เต็มหน่วย เทคนิคการแปลงฟูริเยร์ในช่วงเวลาสั้น แบบจำลองเอกสาร และการกระจายเชิงโนมด เมื่อเปรียบเทียบผลพบว่าการกระจายเชิงโนมดให้ผลดีที่สุด เสียงเพียงอ้อของไทยในหนึ่งทบทวนเสียง มีความถี่อยู่ที่ 465-940 เฮิรตซ์ มีระยะเวลาพิเศษไม่คงที่ไม่ได้เป็นไปตามสมมุติฐานดังเดิมของมอร์ตัน

¹ นักศึกษาบัณฑิตศึกษา สาขาวิชาศึกกรรมไฟฟ้า สำนักวิชาศึกกรรมศาสตร์ มหาวิทยาลัยเทคโนโลยีสุรนารี อำเภอเมือง จังหวัดนครราชสีมา 30000 โทรศัพท์ 0-4422-4400 E-mail: neung_chin@yahoo.com

² Ph.D., รองศาสตราจารย์ หัวหน้าสาขาวิชาศึกกรรมไฟฟ้า มหาวิทยาลัยเทคโนโลยีสุรนารี

³ Ph.D., ผู้ช่วยศาสตราจารย์ สาขาวิชาศึกกรรมไฟฟ้า มหาวิทยาลัยเทคโนโลยีสุรนารี

⁴ พลอากาศตรี ผู้อำนวยการสถาบันมาตรฐานการวิทยาศาสตร์

* ผู้รับผิดชอบในการติดต่อ

วารสารเทคโนโลยีสุรนารี 11:179-192

บทนำ

เสียงเริ่มเกิดขึ้นเมื่อวัตถุหรือแหล่งกำเนิดเสียงมีการสั่นส่งผลต่อการเคลื่อนที่ของโมเลกุลอากาศที่อยู่โดยรอบ เกิดการเคลื่อนที่เข้าชานกันและแยกออกจากกัน ทำให้ความดันของอากาศเพิ่มขึ้นและลดลงจากปกติ ซึ่งการเคลื่อนที่นี้เกิดสับกันไปมา ก่อให้เกิดเป็นคลื่นเสียงขึ้น (Alten, 1999) มนุษย์ได้ยินเสียงที่มีความถี่อยู่ในช่วงประมาณ 20 ถึง 20,000 เฮิรตซ์ และรับรู้ถักยังขณะของเสียงด้วยความทุ่มແຫ鼾ของเสียงหรือพิทซ์ (pitch) และความดังของเสียง (loudness) (บริษัท ริดเคอร์ส ไดเจสท์ (ประเทศไทย) จำกัด, 2541) เสียงดนตรีเป็นเสียงชนิดหนึ่งเกิดจาก การสั่นเชิงกลของตัวสั่น (oscillator) ซึ่งได้รับการกระตุ้นในรูปแบบโครงรูปแบบหนึ่ง ส่งผลทำให้ส่วนต่าง ๆ ของเครื่องดนตรีสั่น (Mitra, 2001) สำหรับเครื่องดนตรีประเภทเครื่องเป่า เช่น ขลุย ทั้งของต่างประเทศและของไทย เมื่อปั๊ลมเข้าไปในช่องว่างภายในกระบอก โมเลกุลของอากาศที่อยู่ภายในจะเคลื่อนที่กลับไปกลับมาตามความยาวของกระบอกเกิดเป็นเสียง ซึ่งเสียงดังกล่าววนที่หากวัดรูปคลื่นได้ จะพบว่ามีลักษณะใกล้เคียงกับรูปคลื่นไอน์ (Cannon, 1976) เสียงดนตรีจึงเกิดจากการสั่นทั้งหมดที่รวมกันอยู่ในเครื่องดนตรีชิ้นนั้น ๆ ทำให้เสียงดนตรีประกอบด้วยหลายความถี่ที่ญี่ไม่สามารถแยกแยะได้ว่ามีค่าความถี่ใดบ้าง แต่จะได้ยินเสียงโดยรวมที่เป็นผลของการรวมความถี่พร้อม ๆ กัน

เสียงดนตรีเป็นเสียงที่มนุษย์ให้ความสนใจกิจการรายละเอียด งานวิจัยที่ทำการวิเคราะห์เสียงดนตรีที่สืบกันได้เป็นของดนตรีตะวันตกเกือบทั้งหมด ดนตรีไทยและดนตรีสากลมีความถี่ของแต่ละเสียงตัวโน้ตไม่เท่ากัน เนื่องจากดนตรีสากลแบ่งหนึ่งทบทเสียง (octave) ออกเป็นห้าเสียงเดิม (whole tone) และสองครึ่งเสียง (semi tone) ส่วนดนตรีไทยนั้น แบ่งหนึ่งทบทเสียงออกเป็นเจ็ดเสียงเดิม ซึ่งมีความเชื่อว่าโน้ตแต่ละเสียงมีระยะห่างทางความถี่เท่า ๆ กันหมด (สัณห์ดี ตัณฑานันท์, 2542) ดนตรีไทยยังไม่มีการประกาศระดับเสียงที่เป็น

มาตรฐานในเชิงวิทยาศาสตร์ทำงานของเดียวกับของคนตระสากลสำหรับการเทียบเสียง แต่มีการกล่าวถึงโดย อุทิศ นาคสวัสดิ์ (2514) ว่า อัตราส่วนความถี่ระหว่างเสียงโน้ตที่ติดกัน (รายละเอียดประภูมิในผลการทดลองและวิาระณ์) มีค่าเท่ากัน 1.09745 แต่ไม่ได้อธิบายที่มาของตัวเลขดังกล่าว อย่างไรก็ตาม หากใช้การประมาณอาจพิจารณาว่าค่าดังกล่าวเท่ากัน 1.1 โดยประมาณ (ผู้เขียน) นอกจากนี้ในเอกสารดังกล่าวก็ได้นำเสนอค่าความถี่ในเชิงทฤษฎีซึ่งอ้างอิงจากความถี่ของเสียงเปียโน (ตารางที่ 1) โดยมิได้แสดงที่มา ตามปกติแล้วดนตรีไทยเทียบเสียงด้วยความคุ้นเคยและความชำนาญของผู้เป็นหลักของวงดนตรี การเทียบเสียงของเครื่องดนตรีที่จะผสมเป็นวงเดียวกันนี้ ยังเสียงของเครื่องดนตรีในวงที่ได้อ่อนคลายเสียงไม่ได้เป็นหลักเพื่อเทียบเสียง เช่น ขลุย ปี่ ระนาดเหล็ก เป็นต้น (มนตรี ตราโนท, 2540) และได้มีการใช้ส้อมเสียง (turning fork) เช่นเดียวกับดนตรีสากล

บทความนี้นำเสนอบริการวิเคราะห์ระดับเสียงของสัญญาณเสียงดนตรีไทย โดยมุ่งไปที่เสียงโน้ตหลักของขลุยเพียงอย่างเดียวและระนาดเอกเหล็ก ซึ่งเป็นเครื่องดนตรีหลักสำหรับการเทียบเสียงวงเครื่องสายไทยและໂหนรี ด้วยเทคนิคการแปลงฟูริเยร์เดิมหน่วย (discrete Fourier transform หรือ DFT) เทคนิคการแปลงฟูริเยร์ในช่วงเวลาสั้น (short-time Fourier transform หรือ STFT) เทคนิคการวิเคราะห์สัญญาณด้วยแบบจำลองเอกสาร (autoregressive model หรือ AR) และเทคนิคการกระจายเชิงโมด (modal distribution หรือ MD) แล้วนำผลที่ได้จากการคำนวณมาเปรียบเทียบกันเพื่อความถูกต้องแม่นยำ เนื่องจากเสียงดนตรีเป็นสัญญาณที่ผันแปรตามเวลาและไม่มีรายคานชัดเจน เทคนิค DFT จึงอาจไม่เหมาะสมที่จะใช้กับสัญญาณเสียงประเภทนี้ (Pielemeier et al., 1996) แต่ถ้าการเล่นเครื่องดนตรีผู้เล่นจะใช้โน้ตเดียวอย่างต่อเนื่อง สม่ำเสมอ เสียงนี้อาจแสดงความเป็นรายคาน เทคนิค DFT จึงอาจนำมาประยุกต์ได้ในเบื้องต้น เทคนิค STFT เป็นวิธีพื้นฐานในการวิเคราะห์

สัญญาณที่แปรตามเวลาและความถี่ (Cohen, 1989) โดยจะนำฟังก์ชันหน้าต่าง (window function) มาคูณกับสัญญาณเพื่อแบ่งสัญญาณออกเป็นช่วง การเลือกฟังก์ชันหน้าต่างให้เหมาะสมยังคงเป็นปัญหาอยู่ เพราะต้องเลือกระหว่างความสามารถแยกเวลา (time resolution) กับความสามารถแยกความถี่ (frequency resolution) กล่าวคือถ้าต้องการความสามารถที่ดีในการแยกความถี่ จำเป็นต้องใช้ฟังก์ชันหน้าต่างที่มีความกว้างมาก ๆ จะทำให้เทคนิค STFT มีความสามารถแยกเวลาได้ไม่ดีนัก (Pielemeyer et al., 1996) เทคนิค MD ได้รับการพัฒนาขึ้นเพื่อลดข้อจำกัดของเทคนิค STFT และเทคนิคการกระจายวิกเอนอร์ (Wigner distribution หรือ WD) และสามารถตรวจจับองค์ประกอบทางความถี่ที่เปลี่ยนแปลงตามเวลาอย่างรวดเร็วของสัญญาณเสียงดนตรีได้ดี (Pielemeyer and Wakefield, 1996) ส่วนเทคนิค AR นั้นมีความสามารถในการตรวจจับความถี่ที่เปลี่ยนแปลงตามเวลาอย่างรวดเร็วของสัญญาณเสียงพูดได้ดี (Totarong, 1983) ซึ่งอาจให้ผลดีต่อการวิเคราะห์เสียงดนตรีได้ อย่างไรก็ตาม การเลือกอันดับของแบบจำลอง AR ให้เหมาะสมยังไม่มีหลักเกณฑ์ที่แน่นอน ผลที่ได้จากการวิจัยนี้จะช่วยให้ทราบได้ว่าเทคนิคการวิเคราะห์รูปแบบใดจะให้ผลดีกว่าแบบอื่น ๆ ซึ่งจะเป็นประโยชน์ต่อการนำไปประยุกต์เพื่อวิเคราะห์เสียงดนตรีไทยที่ซับซ้อนยิ่งขึ้น เช่น เสียงการบรรเลงด้วยเทคนิคพิเศษต่าง ๆ

เป็นต้น นอกจากนี้ผลวิจัยจะให้ข้อมูลรายละเอียดของความถี่ในหนึ่งหน่วยเสียง ตลอดจนลักษณะเฉพาะของเสียงดนตรีไทยที่บรรเลงโน้ตเดี่ยว

วัสดุ อุปกรณ์ และวิธีการ

อุปกรณ์ที่ใช้ในการเก็บข้อมูลมีดังนี้

- กล้องเพียงอ 1 เลนส์ (ไม่มีรีด)
- ระนาดเอกเหล็ก 1 รัง (เครื่องประจวบดนตรีไทย มหาวิทยาลัยเทคโนโลยีสุรนารี)
- ไมโครโฟน AV-JFET รุ่น AVL110EM
- ออสซิลโลสโคป Tektronic รุ่น TDS 420A
- เทอร์โมมิเตอร์ (thermometer)
- ไฮโกรมิเตอร์ (hygrometer)
- มิเตอร์วัดระดับเสียงดิจิตอล (digital sound level meter) รุ่น TES-1352

ดำเนินการเก็บข้อมูลที่ห้องดนตรีไทย อาคารส่วนกิจการนักศึกษา มหาวิทยาลัยเทคโนโลยีสุรนารี ซึ่งเป็นห้องปฏิบัติเพื่อป้องกันเสียงรบกวน อุณหภูมิภายในห้องเฉลี่ยอยู่ที่ 27 องศาเซลเซียส ความชื้นสัมพัทธ์ประมาณ 67 เปอร์เซ็นต์ ความดังของเสียงขณะบรรเลงคุ้ยเพียงอและระนาดเอกเหล็กควบคุมไว้ให้อยู่ที่ประมาณ 76 เดซิเบล และ 80 เดซิเบล ตามลำดับ การเป้าขคุ้ยใช้การรักษาความต่อเนื่องของลม และรักษาความสม่ำเสมอของความแรงลม โดยไม่จำเป็นต้อง “ระบบลม” การตี

Table 1. Comparison of Thai and Western notes in one octave (previous results).
(อุทิศ นาคสวัสดิ์, 2514)

One octave of Thai musical notes	Frequency of piano (Hz)	Frequency of Thai music (Hz)
do	524	524
rae	587	579
mee	659	639
fa	698	705
sol	784	779
la	880	860
tee	988	949
do'	1,048	1,048

ระนาดเหล็กใช้การ “ร้าว” รักษาความสม่ำเสมอของแรงโดยรัวไว้ไปที่ลักษณะขาดๆ ยาวๆ ในการทำ การเก็บข้อมูล ตำแหน่งของการวางแผน อุปกรณ์ คงที่ (รูปที่ 1) ไมโครโฟนที่ใช้เป็นชนิดอิเล็กทรอนิกส์ (electret) มีแบบรูปการแผ่พลังงาน (radiation pattern) รอบทิศทาง (omnidirection) มีค่าความไว -52 เดซิเบล และมีผลตอบสนองทางความถี่ในช่วง 50 เฮิรตซ์ ถึง 18,000 เฮิรตซ์ ซึ่งมีลักษณะสมบัติใกล้เคียงกับไมโครโฟนที่สืบคันได้ ว่าเหมาะสมสำหรับใช้กับเสียงดนตรีปะเทาเครื่องลมไม้ (woodwind instrument) (สรາวุฒิ สุจิตาร, 2545) กรณีบันทึกเสียงกลุ่มเพียงอย่างเดียว ไมโครโฟนจะวางทำมุม 50 องศา กับแท่นที่บันทึกเสียงที่ห่างจากกลุ่มเพียงอย่างเดียว 3 นิ้ว และกรณีบันทึกเสียงระนาดเอกหัก ไมโครโฟนจะวางทำมุม 80 องศา กับแท่นที่บันทึกเสียงที่ห่างจากกลุ่มเพียงอย่างเดียว ห่างจากตัวระนาด 5 นิ้ว การวางแผนตำแหน่งของไมโครโฟนในลักษณะดังกล่าวก็เพื่อให้

ไมโครโฟนอยู่กึ่งกลางของแหล่งกำเนิดเสียง ส่วนออสซิลโลสโคปป่าว่างทั่วไปเป็นระบบที่สามารถรับรู้ความหายาวยาของไมโครโฟนเพื่อป้องกันการเกิดสัญญาณรบกวนระหว่างสาย และป้องกันไม่ให้ความดังของเสียงเครื่องออสซิลโลสโคปขณะทำงานแทรกสอดลงไมโครโฟนได้ การบันทึกรูปคลื่นเสียงโน้ตเดียวของกลุ่มเพียงอย่างเดียว และระนาดเอกหักทั้งหมด เสียง (โโค เร มี ฟ่า ซอ ล ลา ที โโค) ในกรณีนี้ถือได้ว่า เสียงที่เกิดขึ้นมีความสม่ำเสมอ การบันทึกได้ใช้ออสซิลโลสโคปทำการเก็บข้อมูลจำนวน 2,500 จุด ที่อัตราการชักตัวอย่าง (sampling rate) 250 กิโลแซมป์ลต่อวินาที (kS/sec) ข้อมูลที่บันทึกได้นี้นำไปประมวลผลโดยอาศัยโปรแกรม MATLABTM

รูปที่ 2 (a) แสดงภาพรูปคลื่นเสียงของของกลุ่มเสียงที่บันทึกได้จะสังเกตเห็นว่ารูปคลื่นเสียงลักษณะ ปรากฏการแทรกสอดจากสัญญาณรบกวนพื้นหลัง (background noise) ความถี่ตั้งแต่ 0 ถึง



Figure 1. Instruments setup.

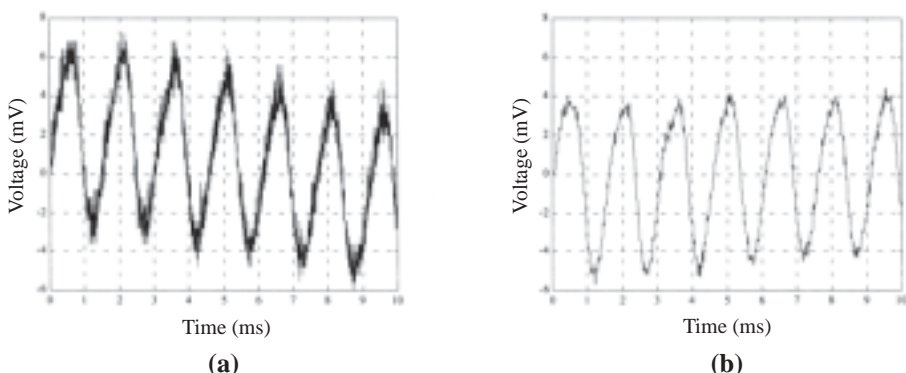


Figure 2. Signal of “sol” note played by a middle pitch Thai flute recorded signal (a) and filtered signal (b).

150 เฮิรตซ์ และความถี่สูงเกิน 20,000 เฮิรตซ์ (พิจารณาจากผลการแปลงฟูร์เรียร์) ดังนั้นก่อนที่จะทำการวิเคราะห์แต่ละเสียง จึงต้องนำข้อมูลที่บันทึกได้ไปผ่านการกรองสัญญาณแบบบัดเตอร์เวิร์ธผ่านแถบ (bandpass Butterworth filtering) มีค่าความถี่ตัด (cutoff frequency) อยู่ที่ 175 และ 25,000 เฮิรตซ์ สัญญาณเสียงหลังจากที่ผ่านการกรองสัญญาณรบกวนทิ้งแล้ว มีรูปลักษณะคงที่ (รูปที่ 2 (b))

เทคนิคการวิเคราะห์สัญญาณ

เทคนิคการวิเคราะห์สัญญาณที่จะกล่าวถึงต่อไปนี้ ต้องการค่าพารามิเตอร์ต่าง ๆ ที่ถูกกำหนดขึ้นอย่างเหมาะสม ความเหมาะสมสมนัยคือจากผลวิเคราะห์ที่จะให้ค่าฟอร์แมทของเสียงโดยและโดย มีสัดส่วนเป็นสองเท่าแก่กันตามความหมายของหนึ่งทับเสียง

เทคนิค DFT (Oppenheim and Schafer, 1989)

สัญญาณเดิมหน่วยที่เป็นรายคำนวณ นิลักษณะของข้อมูลเป็นลำดับและมีความเท่ากับ $N \hat{x}(n)$ อาจเขียนแทนได้ด้วยผลรวมของลำดับเอกสาร์โพนน์-เชียลเชิงช้อน $e_k(n)$ ซึ่ง $e_k(n) = e^{j(2\pi/N)kn}$ เมื่อ k เป็นจำนวนเต็ม ดังสมการ (1) ผลรวมนี้เรียกว่าอนุกรมฟูร์เรียร์เติมหน่วย (discrete Fourier series หรือ DFS) $\hat{X}(k)$ คือค่าสัมประสิทธิ์อนุกรมฟูร์เรียร์เติมหน่วย โดยจำนวนได้จาก $\hat{x}(n)$ ในรูปแบบความสัมพันธ์ตามสมการ (2)

$$\hat{x}(n) = \frac{1}{N} \sum_{k=0}^{N-1} \hat{X}(k) e^{-j(\frac{2\pi}{N})kn} \quad (1)$$

$$\hat{X}(k) = \sum_{n=0}^{N-1} \hat{x}(n) e^{-j(\frac{2\pi}{N})kn} \quad (2)$$

เมื่อพิจารณาสัญญาณเติมหน่วยที่มีลักษณะของข้อมูลเป็นลำดับ $x(n)$ และมีจำนวน N ข้อมูล ซึ่งถูกกำหนดให้เป็นหนึ่งคำนวณของ $\hat{x}(n)$ และ $x(n)$ มีค่าอยู่ในช่วง $0 \leq n \leq N-1$ ค่าสัมประสิทธิ์ของ $x(n)$ จึงหาได้จากการประยุกต์ DFS ของ $\hat{x}(n)$ โดย

คำนวณ เพียงหนึ่งคำนวณ แสดงดังสมการ (3)

$$X(k) = \sum_{n=0}^{N-1} x(n) e^{-j(\frac{2\pi}{N})kn}, 0 \leq k \leq N-1 \quad (3)$$

เรียกว่าการแปลงฟูร์เรียร์เติมหน่วย (discrete Fourier transform หรือ DFT) $X(k)$ เป็นปริมาณเชิงช้อนสเปกตรัมขนาดของ $X(k)$ ให้ข้อมูลค่า $x(n)$ ซึ่งแสดงถึงความถี่โน้ตหลักของเสียงคนครี ซึ่งเรียกว่า ก้นว่า ฟอร์แมท (formant) (สราชฎี สุจิตรา, 2545) กราฟของสเปกตรัมขนาดของ $X(k)$ จึงตีแผ่ฟอร์แมทของโน้ตแต่ละเสียง การคำนวณด้วยโปรแกรม MATLAB™ กำหนดจำนวนจุดในการคำนวณ DFT เท่ากับ 17,500 จุด ซึ่งเป็นการเพิ่มจำนวนจุดในการคำนวณ DFT ให้มากกว่าจำนวนของข้อมูลโดยจำนวนจุดที่เพิ่มนั้นคือค่าสูญเสีย ทำให้คำนวณของเส้นสเปกตรัมมีความถูกต้องแม่นยำมากขึ้น จำนวน 17,500 จุดนี้มาจากการสุ่มเลือกค่าต่าง ๆ เช่น 5,000 7,500 8,192 10,000 และ 16,384 เป็นต้น นำมาทดลองคำนวณ DFT ของโน้ตที่มีแนวเสียง แล้วเลือกจำนวนจุดที่ให้ค่าความถี่ของเสียงโดย ใกล้เคียงหรือเป็นสองเท่าของเสียงโดย

เทคนิค STFT (Mitra, 2001)

เมื่อทำการวิเคราะห์สัญญาณที่ไม่นิ่ง (stationary signal) การแปลงที่อาจนำมาใช้เพื่อวิเคราะห์เป็นการแปลงฟูร์เรียร์ไม่อิสระทางเวลา (time-dependent Fourier transform) หรือที่อาจเรียกว่า การแปลงฟูร์เรียร์ในช่วงเวลา (short-time Fourier transform หรือ STFT) การแปลงดังกล่าวจะแบ่งสัญญาณ $x(n)$ ออกเป็นส่วนสั้น ๆ ซึ่งแต่ละส่วนมีช่วงเวลาที่เท่ากัน โดยนำพังก์ชันหน้าต่าง $w(n)$ มาคูณกับ $x(n)$ แต่ละส่วนที่แยกออกจากกันนี้จะพิจารณาว่าเป็นสัญญาณที่ไม่แปรตามเวลา จากนั้นคำนวณ DFT ของสัญญาณแต่ละส่วน คำนวณของ $w(n)$ ในช่วงเวลาต่าง ๆ สัมพันธ์กับ $x(n)$ และความถี่แสดงดังสมการ (4)

$$X_{STFT}(e^{j\omega}, n) = \sum_{m=-\infty}^{\infty} x(n-m)w(m)e^{-j\omega m} \quad (4)$$

n คือตัวแปรเวลาเป็นจำนวนเต็ม และ ω คือตัวแปรความถี่ต่อเนื่อง ทำการซักตัวอย่าง $X_{STFT}(e^{j\omega}, n)$ ด้วยความถี่ที่มีระยะห่างเท่า ๆ กัน N จำนวน จะได้ $\omega_k = 2\pi k / N$ และ $w(n)$ มีความยาว R จำนวน ซึ่ง $N \geq R$ ได้เป็น $X_{STFT}(k, n)$ ดังสมการ (5)

$$X_{STFT}(k, n) = \sum_{m=0}^{R-1} x(n-m)w(m) e^{-j(\frac{2\pi}{N})km} \quad (5)$$

$X_{STFT}(k, n)$ คือ DFT ของ $x(n-m)w(m)$ และ k มีค่าอยู่ในช่วง $0 \leq k \leq N-1$ การเลือกใช้ $w(n)$ ให้เหมาะสมนี้ความสำคัญกล่าวว่าคือ ถ้าสัญญาณมีพารามิเตอร์ของスペกตรัมที่เปลี่ยนแปลงช่วงกว้าง ๆ ควรลดจำนวนความยาวของ $w(n)$ ลงเพื่อเพิ่มความสามารถแยกเวลา แต่ในขณะเดียวกันการเพิ่มความยาวของ $w(n)$ จะทำให้ความสามารถแยกความถี่เพิ่มขึ้น การคำนวณด้วยโปรแกรม MATLAB™ กำหนดจำนวนข้อมูลในการคำนวณ DFT เท่ากับ 17,500 จุด $w(n)$ ที่เลือกใช้เป็นแบบสี่เหลี่ยมผืนผ้า จำนวน 2,000 จุด นั่นคือ $x(n)$ จะไม่ถูกขยายและลดตอน ในการคำนวณดังกล่าวที่ $w(n)$ จะเลื่อนไปจนสุดความยาวของข้อมูล ซึ่งกำหนดให้มีการเหลือร่อง (overlap) กัน 1,950 จุด ค่าพารามิเตอร์ดังกล่าวมาจากทรัคลองคำนวณ STFT ของโน้ตที่แบ่งเสียงโดยเปลี่ยนค่าจำนวนความยาวของ $w(n)$ และจำนวนการเหลือร่อง เช่น 500 กับ 25 500 กับ 450 1,000 กับ 500 และ 1,500 กับ 1,000 เป็นต้น ซึ่งจำนวนการเหลือร่องที่มีค่ามากจะส่งผลให้ขนาดของ $X_{STFT}(k, n)$ มีค่ามากไปด้วย จากนั้นจะพิจารณาเลือกค่าพารามิเตอร์ที่ให้ความถี่ของเสียงโดยไกล์เกิ่งหรือเป็นสองเท่าของเสียงโดย $X_{STFT}(k, n)$ เป็นฟังก์ชันสองตัวแปร มีค่าทั้งในโอดเมนเวลา (n) และโอดเมนความถี่ (k) การแสดงขนาดของ $X_{STFT}(k, n)$ เรียกว่า สเปกโตรแกรม (spectrogram) มีลักษณะเป็นภาพสามมิติแสดงให้เห็นองค์ประกอบบนทางความถี่ของ $x(n)$ ที่เปลี่ยนเวลา ซึ่งขนาดของ $X_{STFT}(k, n)$ อยู่ในทิศทาง z บนระนาบ $x-y$ ฟอร์แมตท์ของเสียงดนตรีจึงปรากฏเด่นชัดตรง

บริเวณที่สเปกโตรแกรมมีขนาดสูงสุด

เทคนิค AR

การจำลองข้อมูล $x(n)$ ซึ่งมีจำนวนข้อมูลเท่ากับ N ด้วยแบบจำลอง AR (หรือ all pole model) จะพิจารณาจากการประมาณค่า $x(n)$ กล่าวคือการประมาณค่าปัจจุบันของ $x(n)$ อาศัยผลรวมเชิงเส้นของข้อมูล M จำนวนที่ปรากฏขึ้นก่อนหน้านี้ เพื่อแสดงได้ดังสมการ (6) (Totarong, 1983)

$$\hat{x}(n) = - \sum_{i=1}^M a_i x(n-i) \quad (6)$$

$\hat{x}(n)$ คือค่าประมาณของ $x(n)$ M คืออันดับของแบบจำลอง และ a_i คือค่าสัมประสิทธิ์ของแบบจำลองผลต่างของ $x(n)$ และ $\hat{x}(n)$ คือค่าผิดพลาดจาก การประมาณเชิงเส้น (linear prediction error, e_n) แสดงดังสมการ (7) (Totarong, 1983)

$$x(n) - \hat{x}(n) = \sum_{i=0}^M a_i x(n-i) = e_n \quad (7)$$

ผลการแปลง z ของสมการ (7) โดยให้ $a_0 = 1$ จะได้ทราบสเฟอร์ฟังก์ชันของแบบจำลอง AR มีค่าดังสมการ (8) (Totarong, 1983)

$$X(z) = \frac{Z[e_n]}{1 + \sum_{i=1}^M a_i z^{-i}} \quad (8)$$

$Z[e_n]$ หมายถึงผลการแปลง z ของ e_n ค่าความถี่ของ $x(n)$ ประมาณได้จากสเปกตรัมขนาดของ $X(z)$ ซึ่ง $z = e^{j\omega}$ และเพื่อหลีกเลี่ยงกรณีที่ $Z[e_n] = 0$ จึงกำหนดสเปกตรัมขนาดของ $X(z)$ ตามสมการ (9) (Griffiths, 1975)

$$|X(z)| = \frac{1}{\left| 1 + \sum_{i=1}^M a_i z^{-i} \right|} \quad (9)$$

ในการประมาณค่าสัมประสิทธิ์ของแบบจำลอง จะเลือกใช้อัลกอริทึมของเบิร์ก (Burg Algorithm) ซึ่งมีการคำนวณเป็นกระบวนการการทำซ้ำโดยลดผลรวมของค่าผิดพลาดจากการประมาณเชิงเส้น (e_m)

ทั้งแบบข้อนกลับ (backward) และแบบไปหน้า (forward) และยังคงให้ค่าสัมประสิทธิ์ของแบบจำลองเป็นไปตามลัพธ์ Levinson recursion ตั้งแต่อันดับ 1 ถึง M เพื่อทำให้ตัวกรองความถี่ AR มีเสียงราบรื่น (Marple, 1980) สมการ (10) แสดงความสัมพันธ์สำหรับคำนวณ $a_{M,M}$ หรือเรียกว่าสัมประสิทธิ์การสะท้อน (reflection coefficient) โดยที่ $b_{M,k}$ และ $f_{M,k}$ คือค่าความผิดพลาดที่เกิดจากการประมาณเชิงเส้นแบบข้อนกลับและแบบไปหน้าตามลำดับ และสัญลักษณ์ *หมายถึงค่าสัมัญญาเชิงซ้อน ในแต่ละรอบที่ M มีค่าเพิ่มขึ้น e_M ซึ่งคำนวณตามสมการ (11) จะมีขนาดลดลงและค่าสัมประสิทธิ์ของแบบจำลองคำนวณได้จากสมการ (12) (Marple, 1980)

$$a_{M,M} = -\frac{2 \sum_{k=1}^{N-M} b_{M-1,k}^* f_{M-1,k+1}}{\sum_{k=1}^{N-M} [|b_{M-1,k}|^2 + |f_{M-1,k+1}|^2]} \quad (10)$$

$$e_M = e_{M-1} [1 - |a_{M,M}|^2] \quad (11)$$

$$a_{M,k} = a_{M-1,k} + a_{M,M} a_{M-1,M-k}^* \quad (12)$$

เมื่อใช้โปรแกรม MATLAB™ $x(n)$ จะเป็นเสมือนเอาต์พุตของระบบ AR ที่มีอินพุตเป็นสัญญาณรบกวนขาว (white noise) และกำหนดให้อันดับของแบบจำลองเท่ากับ 18 อันดับของแบบจำลองนี้ได้มาจากทดลองวิเคราะห์เสียงโน้ตทั้งหมดเสียงโดยคำนวณตั้งแต่อันดับ 1, 2, 3, ..., 50 และทดลองสุ่มเลือกค่าอันดับ เช่น 100, 500, 1,000 และ 1,500 เป็นต้น ซึ่งพบว่าอันดับของแบบจำลองที่มากขึ้นและมากเกินไปไม่ได้ให้ผลที่ดีขึ้น การพิจารณาเลือกอันดับ 18 เพราะให้ผลการวิเคราะห์ที่แสดงความเป็นทบทวนเสียงของโดยและโดยได้ใกล้เคียงที่สุด องค์ประกอบทางความถี่ของ $x(n)$ แสดงด้วยกราฟของスペกตรัมขนาดของ $X(z)$

เทคนิค MD (Pielemeier and Wakefield, 1996)

การคำนวณ MD มีพื้นฐานมาจากการ

กระจายวิกาเนอร์เพี้ยมเต็มหน่วย (discrete pseudo-Wigner distribution หรือ DPWD) โดยเริ่มจาก การคำนวณฟังก์ชันอัตสาหสัมพันธ์ขณะหนี่แบบเต็มหน่วย (discrete instantaneous autocorrelation function, $R_s(n, \ell)$) ของข้อมูล $s(n)$ แสดงดังสมการ (13)

$$R_s(n, \ell) = s(n + \ell)s^*(n - \ell) \quad (13)$$

สัญลักษณ์ * หมายถึงค่าสัมัญญาเชิงซ้อน $R_s(n, \ell)$ ผ่านการกรองสัญญาณด้วย $h_{LP}(n)$ จะได้เป็น $R_{s,t}(n, \ell)$ มีค่าตามสมการ (14)

$$R_{s,t}(n, \ell) = \sum_{p=-P}^P R_s(n-p, \ell) h_{LP}(p) \quad (14)$$

โดยสัญลักษณ์ t หมายถึงการกรองสัญญาณทางเวลาและ P มีค่าเท่ากับ $2N$ ตัวแปร ℓ ในสมการ (13) และ (14) มีค่าอยู่ในช่วง $0 \leq \ell \leq L$ เนื่องจาก $R_s(n, \ell)$ และ $R_{s,t}(n, \ell)$ มีลักษณะสมมาตร จึงคำนวณแต่เพียงด้านขวาเท่านั้น ℓ คือค่าล้าหลัง (lag) และมีค่ามากที่สุดเท่ากับ L จากนั้นนำ $R_{s,t}(n, \ell)$ ผ่านการกรองสัญญาณทางความถี่ด้วย $g_{LP}(n)$ และทำการแปลงฟูริเยร์เต็มหน่วย ได้เป็นดังสมการ (15)

$$M_s(n, k) = \sum_{\ell=-L}^L R_{s,t}(n, \ell) g_{LP}(\ell) e^{\left(-\frac{j2\pi k\ell}{2L}\right)} \quad (15)$$

ซึ่งแสดงรูปแบบเต็มหน่วยของ MD ($M_s(n, k)$) ของข้อมูล $s(n)$ k มีค่าในช่วง $0 \leq k \leq L/2$ ตัวแปร n ในสมการ (13) คือจำนวนข้อมูลทั้งหมด ส่วนในสมการ (14) และ (15) จะคำนวณเฉพาะ n เพียงบางค่าที่ตรงตำแหน่งการซักตัวอย่างข้อมูล $s(n)$ ด้วยความถี่การซักตัวอย่างเป็นสองเท่าของ $\Delta\omega_{min}$ (คือผลต่างทางความถี่ที่น้อยที่สุดระหว่างสององค์ประกอบใด ๆ ในสัญญาณ หน่วยเซริตซ์) $h_{LP}(n)$ และ $g_{LP}(n)$ คือฟังก์ชันหน้าต่างแบบแฮมมิ่ง (Hamming) ซึ่งมีความยาวในช่วง $-N$ ถึง N และ $-R$ ถึง R ตามลำดับ โดยที่ R เท่ากับ $L/2$ ค่าคงที่ต่าง ๆ ใน การคำนวณได้แก่ $L = 8,192$, $\Delta\omega_{min} = 183.11$ rad/sec, $N = 1,365$ และ n เพิ่มขึ้นละ 4 จำนวน การเลือกค่าพารามิเตอร์ต่าง ๆ

ดังกล่าว พิจารณาดังนี้ กล่าวคือ เลือก L เป็น ค่ากำลังของสองทำให้ใช้อัลกอริทึมการแปลงฟูร์เรียร์ อย่างรวดเร็ว (FFT) คำนวณสมการ (15) ได้ $\Delta\gamma_{min}$ มาจากผลสเปกตรักรรมของ $s(n)$ N เกิดจากผลหารระหว่างอัตราการซักตัวอย่างของ $s(n)$ กับ $\Delta\gamma_{min}$ และปัจจุบันเป็นจำนวนเต็ม และเลือก n ตรงตามหน่วย ซึ่งมีความถี่การซักตัวอย่าง $s(n)$ มาก กว่าสองเท่าของ $\Delta\gamma_{min}$ เพื่อจะได้รายละเอียด ของผลการวิเคราะห์ทางเวลามากขึ้น $M_s(n,k)$ ใน สมการ (15) เป็นฟังก์ชันสองตัวแปร มีค่าทั้งใน โดเมนเวลา n และโดเมนความถี่ k องค์ประกอบ ทางความถี่ของ $s(n)$ ที่เปรียบเท่ากับผลการ คำนวณ $M_s(n,k)$ จะอยู่ในทิศทาง z บนระนาบ $x-y$ และบริเวณที่สเปกตรัมขนาดของ $M_s(n,k)$ มีค่าสูงสุดจะแสดงถึงฟอร์แมนท์ของเสียง ดนตรี

ผลการทดลองและวิจารณ์

เมื่อทำการประมวลผลสัญญาณเสียงขลุยเพียงอ ด้วยเทคนิคต่าง ๆ ที่ได้นำเสนอไปแล้ว ผลการ คำนวณงานบางส่วนอาจน่ามำแส้งได้ดังรูปที่ 3, 4, 5 และ 6 ตามลำดับ ทั้งสี่รูปแสดงฟอร์แมนท์ของ เสียง โด มี ชอด และ โอด อ่ายงชัดเจน ฟอร์แมนท์ ของเสียงดนตรีไทยในช่วงหนึ่งทบทเสียงของ ขลุยเพียงอ ได้รับการนำไปสรุปรวมไว้ในตารางที่ 2 นี้ ข้อมูลที่ได้จากการวิเคราะห์เสียงจริงดังตารางที่ 2 นี้

เป็นเครื่องยืนยันว่าค่าความถี่ของเสียงดนตรีไทยดัง ตารางที่ 1 คลาดเคลื่อนไปจากความเป็นจริงมาก และ ยังอาจสังเกตได้ว่าเสียงดนตรีไทยนั้นต่ำกว่าเสียง ดนตรีสากล วิธี DFT และ STFT ให้ค่าความถี่ ฟอร์แมนท์แตกต่างกันเพียงบางเสียงเท่านั้นซึ่งไม่ มากนักและมีความถี่เพิ่มขึ้นจากเสียงต่ำไปข้างเสียง สูงเป็นลำดับ เพียงแต่ว่าผลการวิเคราะห์จากสองวิธี นี้ให้ความถี่บ้างโน่นเป็นเลขลงตัว ได้แก่ 500, 600 และ 900 เฮิรตซ์ นับว่าเป็นสิ่งพิเศษที่ทางธรรมชาติ ของดนตรีไทยเป็นอย่างยิ่ง เพราะการตั้งเสียง เครื่องดนตรีไทยเมื่อผลิต ไม่มีการใช้เทคโนโลยี เครื่องมือวัดละเอียดอย่างเช่นการผลิตเครื่องดนตรี ของตะวันตก หากแต่ดัชนตรีไทยใช้ธรรมชาติของ การฟังเทียบเครื่องดนตรีสองชิ้นค้ายกันและปรับ ตั้งเสียง ผลจากวิธี AR นั้น ค่าความถี่ของเสียงมี (657.14 เฮิรตซ์) สูงกว่าเสียงฟ้า (650 เฮิรตซ์) ซึ่ง ไม่เป็นไปตามการໄລ่ระดับเสียง วิธี AR และ อัลกอริทึมตลอดจนพารามิเตอร์ที่เลือกใช้ จึงขึ้น ไม่เหมาะสมสำหรับการวิเคราะห์เสียงดนตรีไทย วิธี MD จึงให้ผลการวิเคราะห์ที่น่าเชื่อถือมากกว่า เพราะฟอร์แมนท์ที่ได้มีการໄລ่เรียงไปตามลำดับ ต่ำสูงของเสียง และหนึ่งทบทเสียงก็ปรากฏความถี่ ใกล้เคียงสองเท่ากัน

จากการที่วิธี MD ให้ผลลัพธ์ที่ดีที่สุด จึงได้ คำนวณอัตราส่วนความถี่ (frequency ratio) และ ระยะพิทซ์ (pitch interval) ของผลดังกล่าว แสดง ข้อมูลที่คำนวณได้เปรียบเทียบไว้ในตารางที่ 3

Table 2. Formants of the Thai notes played by a middle pitch Thai flute.

Thai musical notes	Frequency (Hz)			
	DFT	STFT	AR	MD
do	457.14	457.14	442.86	465.39
rae	514.29	500.00	557.14	511.17
mee	557.14	557.14	657.14	556.95
fa	600.00	600.00	650.00	602.72
sol	657.14	657.14	700.00	663.76
la	714.29	714.29	785.71	717.16
tee	814.29	814.29	864.29	816.35
do'	900.00	900.00	914.29	892.64

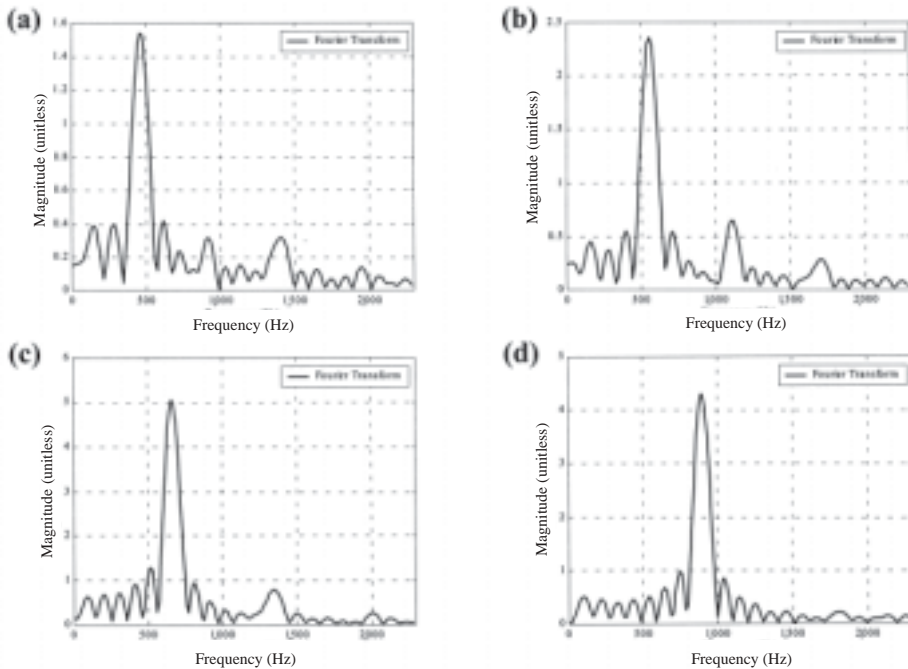


Figure 3. Formants of the notes (a) “do” (b) “mee” (c) “sol” (d) “do” obtained from DFT (original sound played by a middle pitch Thai flute).

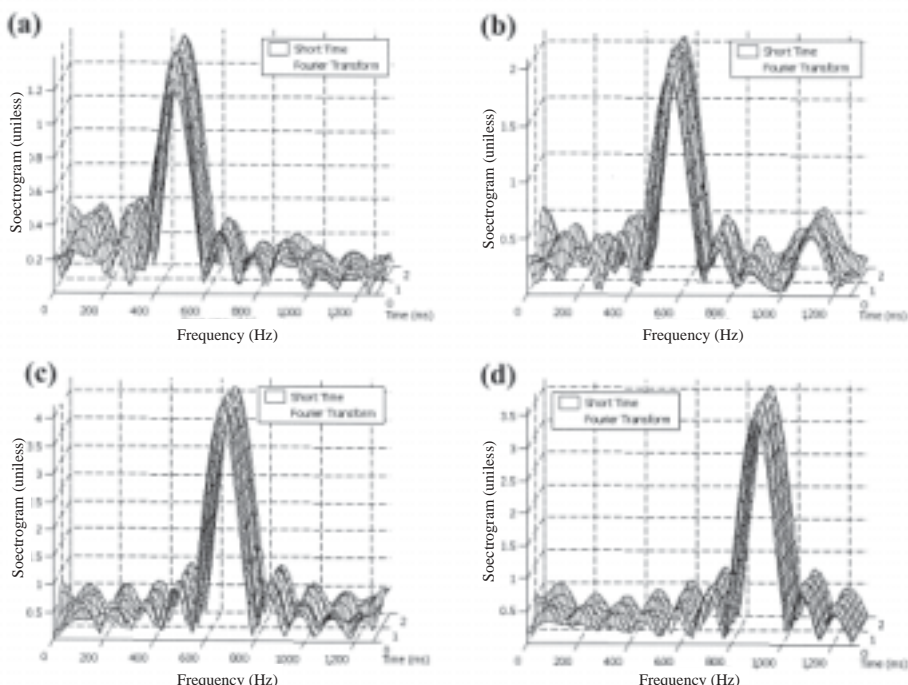


Figure 4. Formants of the notes (a) “do” (b) “mee” (c) “sol” (d) “do” obtained from STFT (original sound played by a middle pitch Thai flute).

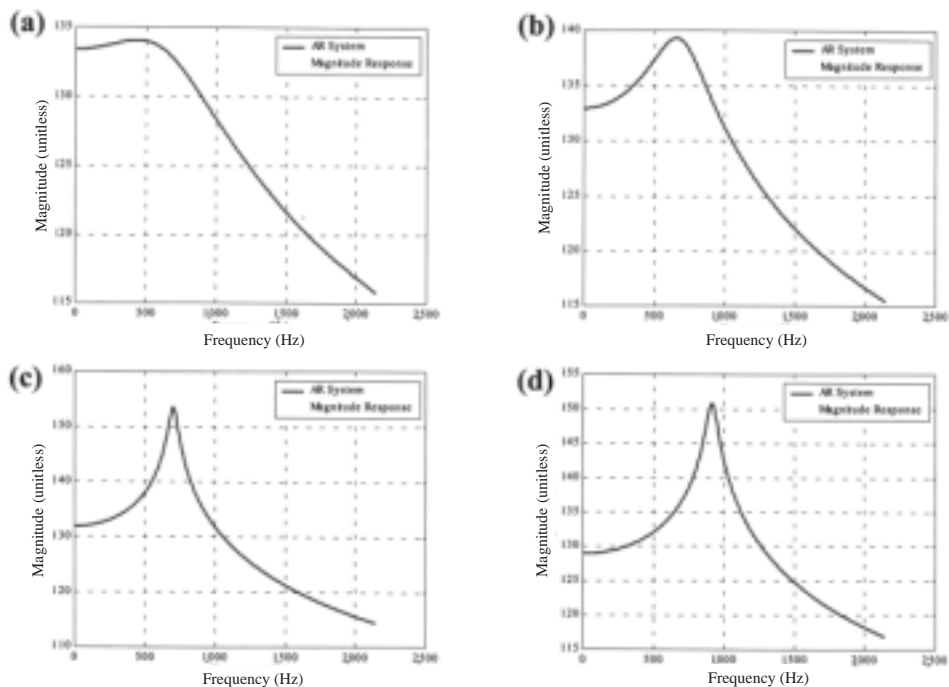


Figure 5. Formants of the notes (a) “do” (b) “mee” (c) “sol” (d) “do” obtained from AR (original sound played by a middle pitch Thai flute).

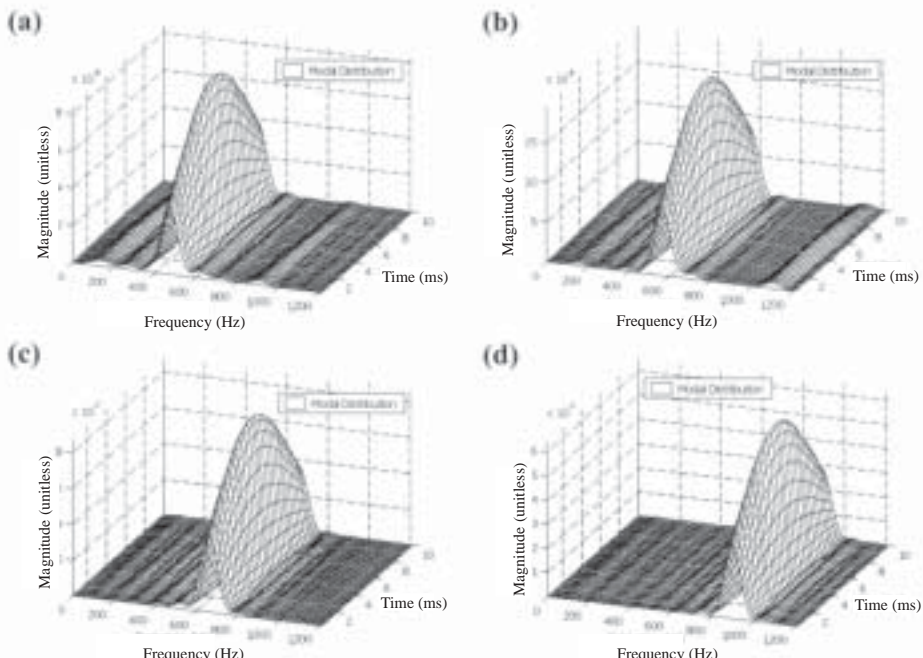


Figure 6. Formants of the notes (a) “do” (b) “mee” (c) “sol” (d) “do” obtained from MD (original sound played by a middle pitch Thai flute).

อัตราส่วนความถี่ที่ก่อตัววิธีนี้คำนวณได้โดยนำค่าความถี่ของเสียงที่ติดกันมาหารกัน เช่น นี่ : เร เป็นต้น จากนั้นคำนวณระยะพิเศษ ตามสมการ (16)

$$\text{ระยะพิเศษ} = K \log_2 \frac{f_1}{f_2} \quad (16)$$

ระยะพิเศษจะมีหน่วยเป็นเซนต์ (cent) เมื่อ $K = 1,200$ (Wood, 1975) f_1 และ f_2 คือความถี่ที่จะนำมาคำนวณเปรียบเทียบกัน มีหน่วยเฮิรตซ์ (Hz) ซึ่ง f_1 / f_2 ในที่นี้คือค่าอัตราส่วนความถี่นั้นเอง ระยะพิเศษเมื่อเสียงโอดเทียบกับเสียงโอด (หรือเมื่อครบหนึ่งทพเสียง) ในทางทฤษฎีจะเท่ากับ 1,200 เซนต์ พอดี

ข้อมูลในตารางที่ 3 แสดงอัตราส่วนความถี่ และระยะพิเศษที่คำนวณได้จากข้อมูลฟอร์แมนที่เป็นผลลัพธ์ของวิธี MD อัตราส่วนความถี่มีค่าเท่าๆ กัน ประมาณ 1.10 มีเพียงอัตราส่วนของ ที่ : ลา ซึ่งเท่ากับ 1.14 และระยะพิเศษค่าเฉลี่ยเท่ากับ 161.08 เซนต์ อย่างไรก็ตาม ระยะพิเศษที่คำนวณได้ปรากฏอาการแกร่งจนไม่อาจยอมรับในสมมติฐานค่าระยะพิเศษคงที่ได้ (Morton, 1976) นอกจากนั้นระยะพิเศษนี้เมื่อครบหนึ่งทพเสียงมีค่าเท่ากับ 1,127.57 เซนต์ ซึ่งรูปที่ 7 แสดงการเปรียบเทียบระหว่างค่าระยะพิเศษที่คำนวณจากผลของวิธี MD และค่าตามสมมติฐานของ Morton ที่กำหนดให้เท่ากับ 171.43 เซนต์ เมื่อพิจารณาอัตราส่วนความถี่และระยะพิเศษของเสียงชุดๆเพียงอันเทียบกับคุณตรีสาгал ซึ่งตารางที่ 4

แสดงค่าความถี่ของเสียงปี谱写 ในช่วงที่ใกล้เคียงกับความถี่ของชุดเพียงอันที่วิเคราะห์ได้ จะสังเกตได้ว่าระยะพิเศษเมื่อเสียงโอดเทียบกับเสียงโอด มีค่าเท่ากับ 1,200 เซนต์พอดี ที่เป็นเช่นนี้ เพราะ tekโนโลยีการสร้างเครื่องดนตรีสาгалในปัจจุบัน มีการใช้เครื่องมือวัดคละอิedyช่วยในการปรับตั้งเสียง และขั้นตอนสุดท้ายให้เห็นว่าคุณตรีสาgalแบ่งออกเป็นห้าเสียงเดิม และสองครั้งเสียงชัดเจน (หมายถึงอัตราส่วนเท่ากับ 1.12 และ 1.06 ระยะพิเศษเท่ากับ 200 เซนต์ และ 100 เซนต์ ตามลำดับ)

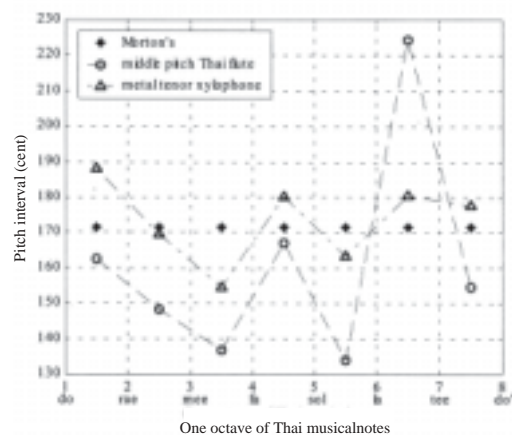


Figure 7. Pitch intervals analyzed by MD (original sound played by a middle pitch Thai flute ana a metal tenor xylophone).

Table 3. Frequency ratios and pitch intervals by MD (middle pitch Thai flute).

One octave of Thai musical notes	Frequency (Hz)	Frequency ratio (unitless)	Pitch interval (cent)
do	465.39	1.10	162.44
rae	511.17	1.09	148.49
mee	556.95	1.08	136.73
fa	602.72	1.10	167.01
sol	663.76	1.08	133.96
la	717.16	1.14	224.27
tee	816.35	1.09	154.67
do'	892.64		

สำหรับผลลัพธ์ส่วนหนึ่งเป็นของกรณีการวิเคราะห์ที่เสียงระนาดเอกอेकเหล็ก การดำเนินงานกระทำในลักษณะเดียวกันกับกรณีการดำเนินงานวิเคราะห์ที่เสียงขุ่นๆเพียงอย่างเดียว ตั้งแต่การบันทึกเสียงนำข้อมูลมาผ่านการกรองสัญญาณ ตลอดจนเทคนิคที่ใช้ในการวิเคราะห์ ผลการวิเคราะห์ในขั้นตอนประมวลลักษณะที่คล้ายคลึงกันกับกรณีขุ่นๆเพียงอย่างเดียว นำเสนอผลที่ได้จากวิธี MD และผลการคำนวณที่สัมพันธ์กันดังแสดงไว้ในตารางที่ 5 จะสังเกตได้ว่าอัตราส่วนความถี่มีค่าเท่าๆ กันอยู่ที่ประมาณ 1.11 ระยะพิเศษของเสียงที่ปรากฏจากการแก่งชัดเจน ระยะพิเศษเมื่อเสียงโดยที่เป็นกับเสียงโถมมีค่าเท่ากับ 1,214.15 เซนต์ และจากข้อมูลในตารางที่ 5 ยังพบว่า ค่าเฉลี่ยของระยะพิเศษเท่ากับ 173.45 เซนต์ อย่างไรก็ตามผลจากข้อมูลการทดลองที่นำมาคำนวณระยะพิเศษดังที่แสดงด้วยกราฟในรูปที่ 7 บ่งชี้ว่าระยะพิเศษ

ของเสียง โน้ตดนตรีไทย มีแนวโน้มคล่องในช่วงของเสียงโคลอิงฟ้า ต่อจากนั้นแล้วระยะพิธีมีอาการแก่กว่าขึ้นลงไปจนเสียงโดย นอกจากนั้น การที่ความถี่ของเสียงระนาดເອກແหล็กไม่เท่ากันพอดีกับค่าความถี่ของเสียงลุยเพียงออ เพียงแต่มีค่าใกล้เคียงกัน เนื่องมาจากการดำเนินงานในกระบวนการผลิตส่วนหนึ่ง และความถี่เสียงที่ต่างกันเพียงเล็กน้อย เช่นนี้ ก็เกินความสามารถในการได้ยินของมนุษย์ที่จะแยกแยะความแตกต่างได้ และนอกจากนั้น เครื่องดนตรีทั้งสองยังมีฐานรากเบนเดสิ่งที่ต่างกัน กล่าวคือเสียงระนาดເອກແหล็กเกิดจากการกระทบกันของของแข็ง คือไมโครนาด กับลูกระนาดที่เป็นโลหะ ทำให้เสียงที่เกิดขึ้นมีความเข้มข้นสม่ำเสมอ มากกว่าเสียงลุยที่เกิดจาก การสั่นของลำਆกาคในกระบวนการลุย อาการนี้มีการเปลี่ยนแปลงตามอุณหภูมิและความชื้นได้ง่าย

Table 4. Frequency ratios and pitch intervals (piano).

One octave of Thai musical notes	Frequency (Hz)	Frequency ratio (unitless)	Pitch interval (cent)
do	523.25		
rae	587.33	1.12	200
mee	659.26	1.12	200
fa	698.46	1.06	100
sol	783.99	1.12	200
la	880.00	1.12	200
tee	987.77	1.12	200
do'	1,046.50	1.06	100

Table 5. Frequency ratios and pitch intervals by MD (metal tenor xylophone).

One octave of Thai musical notes	Frequency (Hz)	Frequency ratio (unitless)	Pitch interval (cent)
do	465.39		
rae	518.80	1.11	188.09
mee	572.20	1.10	169.61
fa	625.61	1.09	154.49
sol	694.27	1.11	180.28
la	762.94	1.10	163.29
tee	846.86	1.11	180.66
do'	938.42	1.11	177.73

ความถี่ของเสียงกลุ่มเพียงอوجึงอาจต่างไปจากความถี่ของเสียงระนาดออกเหลืออยู่บ้างแต่ไม่มากนัก และส่งผลให้ระเบียบพิธีหนึ่งทบทเสียงของกลุ่มเพียงอ่อนมีค่าต่างไปจาก 1,200 เซนติอยู่บ้าง

สรุป

การดำเนินงานวิเคราะห์เสียงดนตรีไทยในทบทเสียงเพียงอ่อน ด้วยเทคนิคประมวลผลสัญญาณดิจิตอลนั้น พบว่า วิธี MD (modal distribution) ให้ผลลัพธ์ที่สุดทบทเสียงเพียงอ่อนของไทยมีความถี่ในย่าน 465-940 เฮิรตซ์ ซึ่งต่ำกว่าเสียงดนตรีสากลในทบทเสียงที่ใกล้กัน (523-1,046 เฮิรตซ์) เสียงดนตรีไทยมีเอกลักษณ์ของความเป็นธรรมชาติอย่างมากนั้นคือ ความถี่ของโน้ตแต่ละเสียงมิได้แสดงด้วยเลขจำนวนเต็มลงตัว เพราะการปรับตั้งเสียงเครื่องดนตรีไทยใช้ทักษะการได้ยินและทักษะการปรับแต่งเสียงของนายช่างผู้ผลิต มิได้ใช้เครื่องมือวัดละเอียดใด ๆ เช่นช่วย ระเบียบพิธีในทบทเสียงเพียงอ่อนมีค่าในย่าน 130-230 เซนติ โดยประมาณ ซึ่งเสียงโดยถึงฟรีเวย์พิธีมีแนวโน้มลดลง จากนั้นมีอาการแกร่งในช่วงเสียงชอลลิงโค' เสียงดนตรีไทยจึงมิได้มีระเบียบพิธีคงที่เหมือนดังสมมติฐานดังเดิม

กิตติกรรมประกาศ

ขอขอบคุณมูลนิธิ โทร. เพื่อการส่งเสริมวิทยาศาสตร์ ประเทศไทย ที่ได้สนับสนุนทุนวิจัยแก่โครงการวิจัยนี้

เอกสารอ้างอิง

- บริษัท รีดเดอร์ส ไดเจสท์ (ประเทศไทย) จำกัด. (2541). พื้นฐานแห่งกายมนุษย์. ครั้งที่ 1. ออมรินทร์ พรินติ้ง, กรุงเทพฯ, หน้า 206-211.
- มนตรี ตราโนม. (2540). ศูนย์เรียนคณิตศาสตร์ไทย: ภาควิชาการ. ครั้งที่ 2. นติชน, กรุงเทพฯ, หน้า 30-41.
- สราวุฒิ สุจิตร. (2545). การวิเคราะห์เสียงดนตรีไทย. ครั้งที่ 1. มหาวิทยาลัยเทคโนโลยีสุรนารี,

นครราชสีมา, หน้า 5-47.

- สันทัด ตั้มทนนันท์. (2542). บันทึกเพลงไทยเป็นโน้ตสากลอย่างไร. ใน: ครุคนต์เรืองແພ่นคิน, สมชาย รัศมี. ครั้งที่ 1. สถาบันราชภัฏบ้านสมเด็จเจ้าพระยา, กรุงเทพฯ, หน้า 6-18.
- อุทธิ นาคสวัสดิ์. (2514). ทฤษฎีและการปฏิบัติดนตรีไทย. จัดพิมพ์ในการทดลองปีการศึกษาระหว่างชาติ 2513. โรงพิมพ์ครุสภา, กรุงเทพฯ, หน้า 6-11.
- Alten, S.R. (1999). Audio in Media. 5th ed. Wadsworth, USA, p. 12-22.
- Cannon, R.H. (1967). Dynamics of Physical Systems. 1st ed. McGraw-Hill, New York, p. 475-480.
- Cohen, L. (1989). Time-frequency distribution: A review. Proceedings of the IEEE, 77(7): 941-981.
- Griffiths, L.J. (1975). Rapid measurement of digital instantaneous frequency. IEEE trans. on acoustics, speech and signal processing, ASSP-23(2):p. 207-222.
- Marple, L. (1980). A new autoregressive spectrum analysis algorithm. IEEE trans. on acoustics, speech and signal processing, ASSP-23(4):441-454.
- Mitra, S.K. (2001). Digital Signal Processing: A Computer-based Approach. 2nd ed. McGraw-Hill/Irwin, Boston, p. 764-771.
- Morton, D. (1976). The Traditional Music of Thailand. 1st ed. University of California Press, USA, p. 232.
- Oppenheim, A.V., and Schafer, R.W. (1989). Discrete-time signal processing. International ed. Prentice Hall, Englewood Cliffs, N.J., p. 514-560.
- Totarong, P. (1983). Frequency tracking and its application in speech analysis [M.S. thesis]. Department of Electrical and Computer Engineering, The College of Engineering and Technology, Ohio University, USA, p. 9-14.
- Pielemeier, W.J., and Wakefield, G.H. (1996). A high-resolution time-frequency representation for musical instrument signals. The Journal of the Acoustical Society of America, 99(4):2,382-2,396.

- Pielemeier, W.J., Wakefield, G.H., and Simoni, 84(9):1,216-1,229.
M.H. (1996). Time-frequency analysis of musical signals. Proceedings of the IEEE, Wood, A. (1975). The Physics of Music. 7th ed. John Wiley & Son, USA, p. 53.